

# Poisson 比对弯曲波在变截面梁中传播特性的影响\*

朱志韦<sup>1</sup>, 邓子辰<sup>1,2</sup>

(1. 西北工业大学 工程力学系,西安 710072;

2. 大连理工大学 工业装备结构分析国家重点实验室,辽宁 大连 116024)

(本刊编委邓子辰来稿)

**摘要:** 基于 Timoshenko 理论和梁几何不连续处位移连续和力平衡条件,得到弯曲波在变截面梁中反射和透射系数矩阵,进而研究材料 Poisson 比对弯曲波在梁变截面处传播特性的影响.结果显示,在负 Poisson 比阶段,透射传播波的振幅和能量有显著下降趋势,反射传播波振幅和能量上升明显.这说明负 Poisson 比有利于反射传播波在变截面处的生成,对透射传播波有抑制作用.此外通过对衰减波能量的分析,得到 Euler-Bernoulli 理论即使在低频范围内,有时会产生较大误差,因此在使用 Euler-Bernoulli 理论时应慎重.

**关键词:** 变截面梁; Timoshenko 理论; 弯曲波; 负 Poisson 比

**中图分类号:** O347.41      **文献标志码:** A

**DOI:** 10.3879/j.issn.1000-0887.2013.03.001

## 引 言

梁构件是最常见的结构部件,其几何特征为轴向尺寸一般远远大于其截面尺寸,因此梁构件易发生弯曲变形.对于梁横向振动特性的研究历史悠久,18 世纪, Euler 和 Bernoulli 提出了以横向位移为单一变量的 4 阶偏微分方程. Euler-Bernoulli 梁模型理论被后人视为经典理论,直到现在仍是研究振动分析及控制<sup>[1-2]</sup>、波在多孔材料传播<sup>[3]</sup>等问题中常用模型. 1921 年 Timoshenko 在 Euler-Bernoulli 理论的基础上,创造性地将剪切变形作为另一个截面的主要变形方式,使一维梁模型理论可以应用于频率更高的结构动力问题分析中.在与精确理论对比中,由 Timoshenko 理论得到的结果在第一模态范围内与精确理论相吻合,而 Euler-Bernoulli 理论仅适用于振动频率很低的范围内<sup>[4]</sup>.

\* 收稿日期: 2013-01-10

**基金项目:** 国家基础研究计划 973 资助项目(2011CB610300);国家自然科学基金资助项目(11172239);111 引智计划资助项目(B07050);高校博士点基金资助项目(20126102110023);大连理工大学工业装备结构分析国家重点实验室开放基金资助项目(GZ0802)

**作者简介:** 朱志韦(1986—),男,河北衡水人,博士生(E-mail:zhuzhiwei@mail.nwpu.edu.cn);  
邓子辰(1964—),男,西安人,教授,博士生导师(通讯作者.E-mail:dweifan@nwpu.edu.cn).

在实际结构中,根据使用的需要,梁构件中往往出现变截面部位,例如一维几何不连续的周期结构<sup>[5]</sup>、机械转子<sup>[6]</sup>等。当波在梁中传播时,遇到变截面,会发生反射和透射现象。这时不仅波的振幅和相角会发生变化,有时还会激发出不同类型的波,例如弯曲波在变截面处会产生衰减波。1984年 Mace 在文献[7]中详细讨论了弯曲波在一维波导(梁)不连续处的传播特性,文中采用经典 Euler-Bernoulli 理论,根据不连续处的位移连续和力平衡条件,得到反射波和透射波系数矩阵。2005年 Mei 和 Mace 在文献[8]中换用 Timoshenko 理论,对弯曲波在梁不连续处的传播特性进行重新研究。对于变截面不连续处,Mei 着重讨论了弯曲波频率处于两个截止频率之间时,波之间的相互转换问题。2012年 Leamy 在文献[9]中将文献[7-8]中的研究方法和 Bloch 定理相结合,对波在二维周期结构中传播时,形成禁带(stop-band)和通带(pass-band)问题进行分析。波一般被视为一种能量传播的方式,当弯曲波在变截面处发生反射和透射现象时,伴随着能量的重新分配,根据能量守恒原理,被激发的衰减波理应分配到一定能量,但在文献[7]中衰减波并未分配到相应的能量。这个问题将在下面章节中进行详细的讨论。

当材料(例如铝)受到轴向拉伸时,它会在横向缩短,这种现象称为 Poisson 现象。Poisson 比就是用来描述 Poisson 现象的物理量。对于线弹性各向同性材料,Poisson 比  $\nu$  理论的取值范围为  $(-1, 0.5]$ ,现实常用材料的 Poisson 比均为正值,因此在非常长的一段时间内,Poisson 比取负值的情况被人们所忽略。1987年 Lakes 得到 Poisson 比为  $-0.7$  左右接近各向同性的聚酯材料<sup>[10]</sup>,为负 Poisson 比材料的研究打开了一扇大门。后来研究发现,自然界中确实存在负 Poisson 比的材料,例如沸石<sup>[11]</sup>,方晶石<sup>[12]</sup>。二维凹六边形蜂窝材料是一种最近研究比较多的负 Poisson 比材料,通过与正常六边形蜂窝材料对比,波在凹六边形蜂窝材料中有更加明显的空间禁带和通带现象,即波只能在材料的特定区域传播<sup>[13-14]</sup>。关于更多 Poisson 比与材料关系的话题,可参考 Greaves 等为纪念法国科学家 Poisson 的《力学教程》发表 200 周年而写的综述文献“Poisson's ratio and modern materials”<sup>[15]</sup>。

本文主要研究 Poisson 比对弯曲波在梁构件变截面传播特性的影响:首先采用 Timoshenko 理论介绍弯曲波在均质梁中的传播问题;其次详细分析弯曲波在变截面处的反射和透射现象;随后采用一算例,具体分析 Poisson 比对反射波和透射波的影响,侧重 Poisson 比对弯曲波能量分配的影响。

## 1 弯曲波在均质各向同性等截面梁中的传播

对于均质各向同性等截面梁构件,采用 Timoshenko 梁理论,其梁单元的动力方程(忽略外力):

$$GA\kappa \frac{\partial}{\partial x} \left[ \psi(x,t) - \frac{\partial w(x,t)}{\partial x} \right] + \rho A \frac{\partial^2 w(x,t)}{\partial t^2} = 0, \quad (1)$$

$$EI \frac{\partial^2 \psi(x,t)}{\partial x^2} + GA\kappa \left[ \frac{\partial w(x,t)}{\partial x} - \psi(x,t) \right] - \rho I \frac{\partial^2 \psi(x,t)}{\partial t^2} = 0, \quad (2)$$

其中,  $\rho, E, G, A, I$  分别为梁单元材料密度、弹性模量、剪切模量、截面面积和极惯性矩;  $\kappa$  为剪力修正系数,与截面形状及 Poisson 比  $\nu$  有关,对于矩形截面  $\kappa = 5(1 + \nu)/(6 + 5\nu)$ <sup>[16]</sup>;  $w(x,t)$  为单元横向位移,  $\psi(x,t)$  为由截面弯矩引起的转角,  $\partial w(x,t)/\partial x - \psi(x,t)$  为截面剪力引起的

转角. 弯矩  $M(x, t)$  和剪力  $V(x, t)$  可用  $w(x, t), \psi(x, t)$  表示为

$$M(x, t) = -EI \frac{\partial \psi(x, t)}{\partial x}, \quad (3)$$

$$V(x, t) = GA\kappa \left[ \frac{\partial w(x, t)}{\partial x} - \psi(x, t) \right]. \quad (4)$$

假设方程(1)和(2)解的形式为  $[w, \psi]^T = [W_0, \Psi_0]^T e^{-ikx} e^{i\omega t}$ , 将其代入动力方程得

$$\mathbf{A} [W_0, \Psi_0]^T = 0, \quad (5)$$

其中

$$\mathbf{A} = \begin{pmatrix} k^2 GA\kappa - \rho A \omega^2 & -ikGA\kappa \\ -ikGA\kappa & -k^2 EI - GA\kappa + \rho I \omega^2 \end{pmatrix}. \quad (6)$$

若方程(5)有非奇异解, 则  $\det(\mathbf{A}) = 0$ , 于是得

$$k^4 - \frac{\beta^2}{r_g^2} \left( \alpha + \frac{1}{\kappa} \right) k^2 + \frac{\alpha}{r_g^4} \beta^2 \left( \frac{\beta^2}{\kappa} - 1 \right) = 0, \quad (7)$$

其中

$$\alpha = \frac{G}{E}, \quad r_g^2 = \frac{I}{A}, \quad \beta^2 = \frac{\omega^2}{\omega_c^2}, \quad \omega_c = \sqrt{\frac{GA}{\rho I}},$$

在各向同性线弹性材料中,  $G/E = 0.5/(1 + \nu)$ , 于是  $\alpha = 0.5/(1 + \nu)$ .

在方程(7)中, 判别式

$$V = \frac{\beta^2}{r_g^4} \left[ \beta^2 \left( \alpha - \frac{1}{\kappa} \right)^2 + 4\alpha \right] > 0,$$

于是方程存在两个不同的实根  $k_1^2, k_2^2$ :

$$k_1^2 + k_2^2 = \frac{\beta^2}{r_g^2} \left( \alpha + \frac{1}{\kappa} \right) > 0, \quad (8)$$

$$k_1^2 k_2^2 = \frac{\alpha}{r_g^4} \beta^2 \left( \frac{\beta^2}{\kappa} - 1 \right). \quad (9)$$

由于式(8)大于0, 可知方程(7)至少有1个正根, 不妨取  $k_1^2 > 0$ , 设  $k_1 = \pm \mu_1 (\mu_1 > 0)$ , 则  $e^{\mp \mu_1 x}$  代表向右和向左传播的传播波; 在式(9)中, 当  $\beta^2 < \kappa$  时,  $k_2^2 < 0$ , 取  $k_2 = \pm \mu_2 i$ , 于是  $e^{\mp \mu_2 x}$  代表向右和向左传播的衰减波; 当  $\beta^2 > \kappa$  时,  $k_1^2 k_2^2 > 0$ , 此时  $k_2^2 > 0$ , 与  $k_1^2$  一样代表向两侧的传播波. 对于  $\beta^2 = \kappa$ , 对应截止频率  $\omega_c$ ; 由  $\kappa = 5(1 + \nu)/(6 + 5\nu)$ , 则  $\beta_c = \sqrt{5(1 + \nu)/(6 + 5\nu)}$ . 图1为  $\beta_c$  随 Poisson 比  $\nu$  的变化图. 从图中可以明显看到, 在负 Poisson 比阶段 ( $\nu < 0$ ), 截止频率有非常显著的降低.

本文研究只限于  $\beta < \beta_c$ , 即方程(1)和(2)的通解由传播波和衰减波叠加得到. 方程通解可写成如下形式:

$$w(x) = a_1^+ e^{-i\mu_1 x} + a_2^+ e^{-\mu_2 x} + a_1^- e^{i\mu_1 x} + a_2^- e^{\mu_2 x}, \quad (10)$$

$$\psi(x) = -iPa_1^+ e^{-i\mu_1 x} - Na_2^+ e^{-\mu_2 x} + iP a_1^- e^{i\mu_1 x} + Na_2^- e^{\mu_2 x}, \quad (11)$$

其中

$$P = \mu_1 \left( 1 - \frac{\beta^2}{\mu_1^2 r_g^2 \kappa} \right), \quad N = \mu_2 \left( 1 + \frac{\beta^2}{\mu_2^2 r_g^2 \kappa} \right).$$

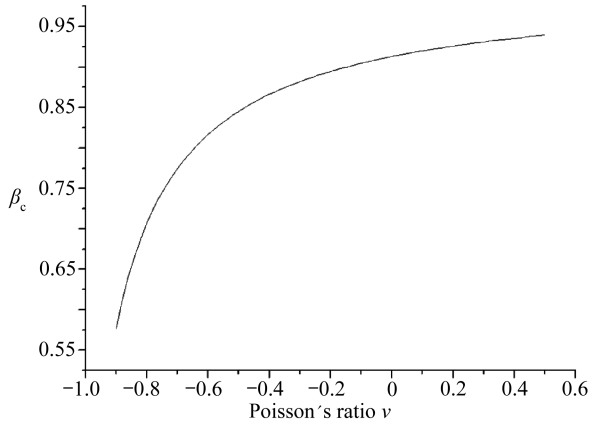


图 1 代表 Timoshenko 梁中弯曲波截止频率的无量纲量  $\beta_c$  随 Poisson 比  $\nu$  的变化图

Fig. 1 Non-dimensional cut-off frequency of Timoshenko beam  $\beta_c$  as a function of Poisson's ratio  $\nu$

## 2 弯曲波在梁变截面处的反射和透射现象

### 2.1 反射和透射波系数矩阵

图 2 为两端无限长梁, 梁中存在截面突变处. 现假设在左侧无穷远处, 梁受到外界扰动, 产生沿轴线向右的弯曲入射波  $a_1^+ e^{-i\mu_1 x}$ . 当入射波传到变截面时, 发生波的反射和透射现象, 反射传播波  $a_1^- e^{i\mu_1 x}$  和透射传播波  $b_1^+ e^{-i\mu_1^+ x}$  分别向变截面左侧和右侧传播; 同时在变截面处还会激发两个衰减波  $a_2^- e^{\mu_2 x}$  和  $b_2^+ e^{-\mu_2^+ x}$ , 其振幅沿轴线分别向左向右衰减. 变截面两侧截面的位移表达式为

$$w_l = a_1^+ e^{-i\mu_1 x} + a_1^- e^{i\mu_1 x} + a_2^- e^{\mu_2 x}, \quad (12)$$

$$\psi_l = -iP_1 a_1^+ e^{-i\mu_1 x} + iP_1 a_1^- e^{i\mu_1 x} + N_1 a_2^- e^{\mu_2 x}, \quad (13)$$

$$w_r = b_1^+ e^{-i\mu_1^+ x} + b_2^+ e^{-\mu_2^+ x}, \quad (14)$$

$$\psi_r = -iP_r b_1^+ e^{-i\mu_1^+ x} - N_r b_2^+ e^{-\mu_2^+ x}. \quad (15)$$

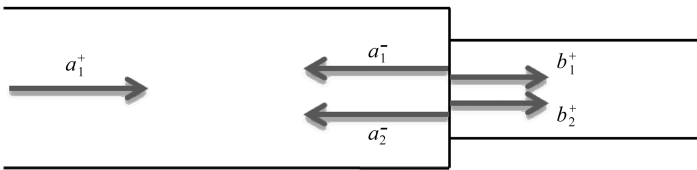


图 2 弯曲弹性波在变截面处发生反射和透射现象示意图

Fig. 2 Flexural wave reflection and transmission at a step change of infinite beam

取  $\mathbf{a}^+ = [a_1^+, a_2^+]^T$ ,  $\mathbf{a}^- = [a_1^-, a_2^-]^T$ ,  $\mathbf{b}^+ = [b_1^+, b_2^+]^T$ , 为方便计算, 将坐标原点设在变截面处,  $x$  轴正向沿轴线向右, 则式 (12) ~ (15) 改写为

$$\begin{bmatrix} w_l \\ \psi_l \end{bmatrix} = \begin{bmatrix} 1 & 0 \\ -iP_1 & 0 \end{bmatrix} \mathbf{a}^+ + \begin{bmatrix} 1 & 1 \\ iP_1 & N_1 \end{bmatrix} \mathbf{a}^-, \quad (16)$$

$$\begin{bmatrix} w_r \\ \psi_r \end{bmatrix} = \begin{bmatrix} 1 & 1 \\ -iP_r & -N_r \end{bmatrix} \mathbf{b}^+. \quad (17)$$

将式(12) ~ (15)代入式(3)和式(4)中,得变截面两侧的弯矩和剪力:

$$\begin{bmatrix} M_1 \\ V_1 \end{bmatrix} = \begin{bmatrix} P_1 \mu_1 & 0 \\ i(P_1 - \mu_1) & 0 \end{bmatrix} \mathbf{a}^+ + \begin{bmatrix} P_1 \mu_1 & N_1 \mu_2 \\ i(-P_1 + \mu_1) & -N_1 + \mu_2 \end{bmatrix} \mathbf{a}^-, \quad (18)$$

$$\begin{bmatrix} M_r \\ V_r \end{bmatrix} = \begin{bmatrix} \xi_{\text{rl}} P_r \mu_1' & -\xi_{\text{rl}} N_r \mu_2' \\ i\gamma_{\text{rl}}(P_r - \mu_1') & \gamma_{\text{rl}}(N_r - \mu_2') \end{bmatrix} \mathbf{b}^+, \quad (19)$$

其中

$$\xi_{\text{rl}} = (EI)_r / (EI)_1, \gamma_{\text{rl}} = (GA\kappa)_r / (GA\kappa)_1.$$

根据位移连续条件和力平衡条件,在变截面处

$$w_1 = w_r, \psi_1 = \psi_r, M_1 = M_r, V_1 = V_r, \quad (20)$$

得

$$\begin{bmatrix} 1 & 0 \\ -iP_1 & 0 \end{bmatrix} \mathbf{a}^+ + \begin{bmatrix} 1 & 1 \\ iP_1 & N_1 \end{bmatrix} \mathbf{a}^- = \begin{bmatrix} 1 & 1 \\ -iP_r & -N_r \end{bmatrix} \mathbf{b}^+, \quad (21)$$

$$\begin{bmatrix} P_1 \mu_1 & 0 \\ i(P_1 - \mu_1) & 0 \end{bmatrix} \mathbf{a}^+ + \begin{bmatrix} P_1 \mu_1 & N_1 \mu_2 \\ i(-P_1 + \mu_1) & -N_1 + \mu_2 \end{bmatrix} \mathbf{a}^- = \begin{bmatrix} \xi_{\text{rl}} P_r \mu_1' & -\xi_{\text{rl}} N_r \mu_2' \\ i\gamma_{\text{rl}}(P_r - \mu_1') & \gamma_{\text{rl}}(N_r - \mu_2') \end{bmatrix} \mathbf{b}^+. \quad (22)$$

设  $\mathbf{a}^- = \mathbf{r}\mathbf{a}^+$ ,  $\mathbf{b}^+ = \mathbf{t}\mathbf{a}^+$ , 将其与式(21)和式(22)联立求解可得反射系数矩阵  $\mathbf{r}$  和透射系数矩阵  $\mathbf{t}$ . 从而得到关于反射波和透射波振幅和相位变化的信息.

## 2.2 反射和透射波能量分配系数

设弯曲入射波  $w = a^+ e^{-ikx} e^{i\omega t}$ ,  $\psi = -iPa^+ e^{-ikx} e^{i\omega t}$ , 其所携带的能量  $E = E_T + E_U$ ,  $E_T, E_U$  分别为动能和变形能, 现取波的一个传播周期, 其表达式

$$E_T = \frac{1}{2} \int_0^T \int_0^\lambda \left[ \rho A \left( \frac{\partial w}{\partial x} \right)^2 + \rho I \left( \frac{\partial \psi}{\partial x} \right)^2 \right] dx dt, \quad (23)$$

$$E_U = \frac{1}{2} \int_0^T \int_0^\lambda \left[ EI \left( \frac{\partial \psi}{\partial x} \right)^2 + \kappa GA \left( \frac{\partial w}{\partial x} - \psi \right)^2 \right] dx dt. \quad (24)$$

将  $w(x, t)$  和  $\psi(x, t)$  代入式(23)和式(24)中, 得

$$E_T = \frac{1}{4} T \lambda \rho \omega^2 |a^+|^2 (A + IP^2), \quad (25)$$

$$E_U = \frac{1}{4} T \lambda |a^+|^2 (EIP^2 k^2 + GA\kappa (k - P)^2). \quad (26)$$

当波在变截面处发生反射和透射时, 入射波能量相应地被分配给反射波和透射波, 根据能量守恒得

$$E = E_i + E_r + E_d, \quad (27)$$

其中,  $E, E_i, E_r$  和  $E_d$  分别为入射波、透射传播波、反射传播波和衰减波所携带的能量.

取

$$\gamma_t = \frac{E_i}{E}, \gamma_r = \frac{E_r}{E}, \gamma_d = \frac{E_d}{E},$$

称  $\gamma_t, \gamma_r$  和  $\gamma_d$  为透射波、反射波和衰减波所分配能量系数, 且满足  $\gamma_t + \gamma_r + \gamma_d = 1$ .

### 3 数值算例及讨论

图 2 中梁截面取为正方形,剪力修正系数  $\kappa = 5(1 + \nu)/(6 + 5\nu)$ ,变截面两侧截面回转半径之比  $\eta = r_{gr}/r_{gl}$ ,  $\eta$  取值范围  $[0, +\infty)$ ,在此取  $\eta = 0.2$ . Poisson 比  $\nu$  取  $[-0.9, 0.5]$ . 波频率比  $\beta$  取  $[0.01, 0.1]$ ,在此范围内,  $\beta < \beta_c$  (见图 3),于是弯曲波在变截面处的反射和透射波中均有衰减波出现.

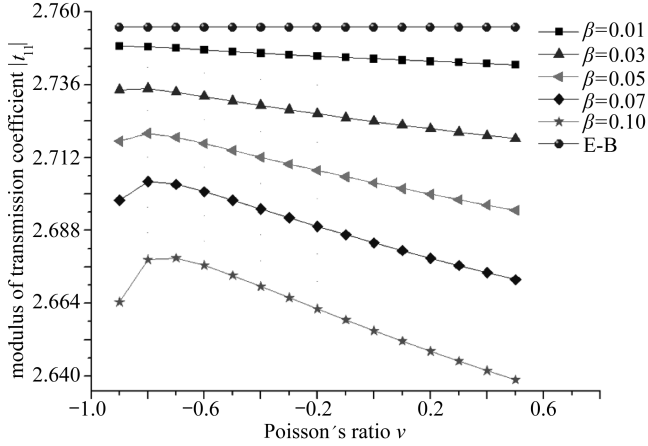


图 3 透射传播波振幅系数  $|t_{11}|$  随 Poisson 比  $\nu$  的变化图

Fig. 3 Modulus of transmission coefficient of propagation wave  $|t_{11}|$  as a function of Poisson's ratio  $\nu$

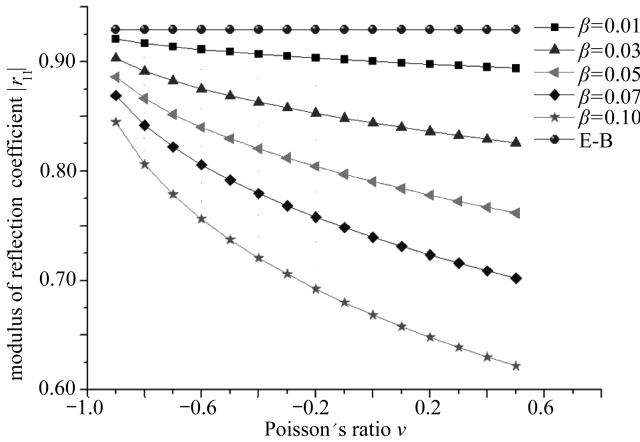


图 4 反射传播波振幅系数  $|r_{11}|$  随 Poisson 比  $\nu$  的变化图

Fig. 4 Modulus of reflection coefficient of propagation wave  $|r_{11}|$  as a function of Poisson's ratio  $\nu$

图 3 和图 4 分别反映透射传播波和反射传播波振幅随 Poisson 比  $\nu$  的变化情况. 图中的 E-B 线为采用文献[7]中透射波和反射波系数矩阵公式计算所得,因系数公式与 Poisson 比  $\nu$  无关,所以图 3 和图 4 中 E-B 线均为水平线. 总体而言,透射传播波振幅(图 3)随 Poisson 比  $\nu$  的递增,先增大后呈近线性递减,最大值出现在  $\nu = -0.8$  处,且此变化规律随频率的增加而越加明显. 而对于反射传播波(图 4),其振幅随 Poisson 比  $\nu$  的递增有明显的递减趋势,在  $\beta = 0.05$ ,  $\nu = 0.3$  时,由 E-B 模型得到的反射波系数模的误差达到 20.4% (准确结果以本文采用的 Timoshenko 梁模型为参照),这表明 E-B 模型即使在低频阶段也会产生较大的误差. 这在后面

对波能量分配的讨论中,还会得到验证。

图 5 为透射传播波能量分配系数随 Poisson 比  $\nu$  的变化图,Poisson 比对透射传播波能量的影响主要体现在 Poisson 比取负值阶段,随着 Poisson 比取值的减小,透射传播波的能量有明显下降趋势,并随波频率增大,这种趋势越加明显。在正 Poisson 比阶段,波能量基本不受 Poisson 比的影响。

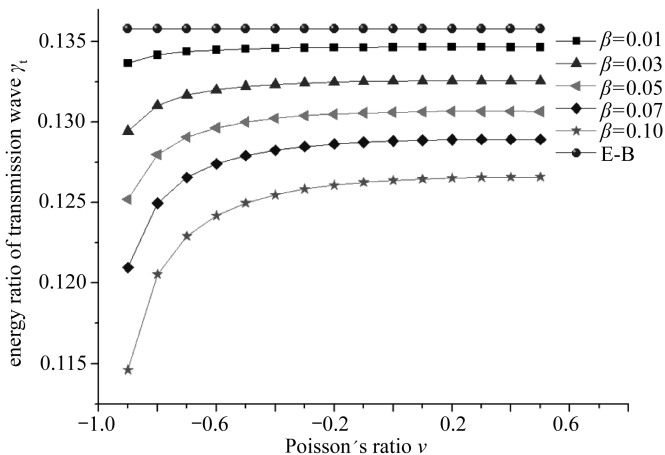


图 5 透射传播波能量分配系数  $\gamma_t$  随 Poisson 比  $\nu$  的变化图

Fig. 5 Energy coefficient of transmission wave  $\gamma_t$  as a function of Poisson's ratio  $\nu$

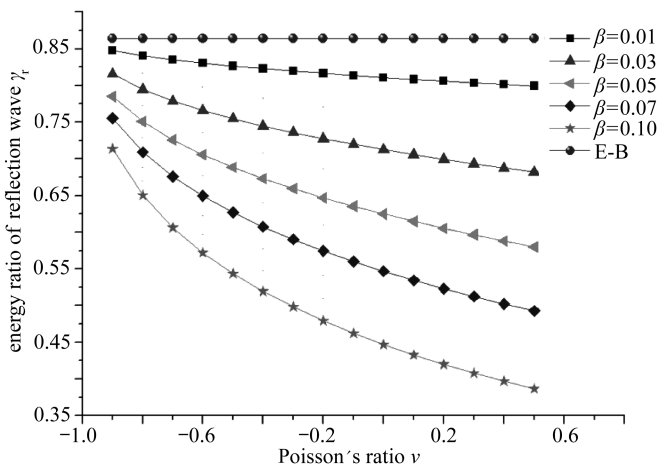


图 6 反射传播波分配能量系数  $\gamma_r$  随 Poisson 比  $\nu$  的变化图

Fig. 6 Energy coefficient of reflection wave  $\gamma_r$  as a function of Poisson's ratio  $\nu$

图 6 和图 7 分别体现反射传播波和衰减波所分配到的能量与 Poisson 比的关系。对于反射传播波(图 6)而言,波能量随 Poisson 比的增大而有明显减小,例如  $\beta = 0.05, \nu = -0.9$  时,  $\gamma_r = 0.785$ , 而  $\beta = 0.05, \nu = 0.5$  时,  $\gamma_r = 0.580$ 。对于递减速率,负 Poisson 比阶段要比正 Poisson 比阶段略大,但不明显。衰减波的情况(图 7)与反射传播波的恰相反,衰减波所分配到的能量随 Poisson 比的递增而递增,即使在 Poisson 比为 0.3 时,衰减波所分配到的能量占总能量(入射波)的比值大于 6% (在  $\beta = 0.01$  时,  $\gamma_d = 0.0617$ ), 随波频率的增大,衰减波的能量将超过透射传播波的能量,因此衰减波的能量不应被忽略。从上面的分析可得,当变截面两侧尺寸比值较小(本研究为  $\eta = 0.2$ ) 时, Euler-Bernoulli 梁模型的误差会很大,应慎重使用。



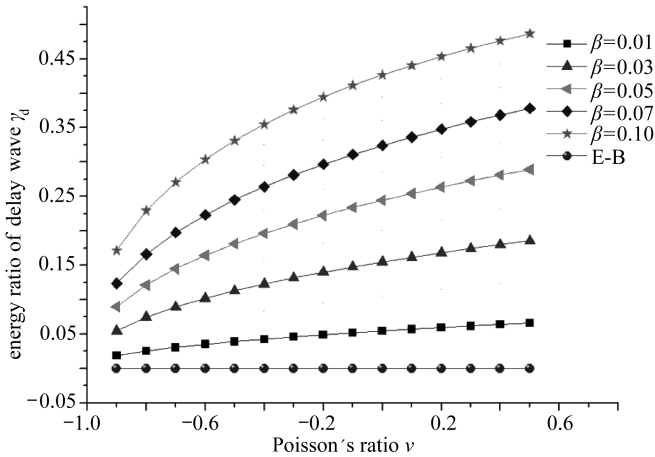


图7 衰减波能量分配系数  $\gamma_d$  随 Poisson 比  $\nu$  的变化图

Fig. 7 Energy coefficient of delaying waves  $\gamma_d$  as a function of Poisson's ratio  $\nu$

## 4 总 结

本文就 Poisson 比对弯曲波在梁变截面处传播特性的影响进行相关研究,侧重分析了负 Poisson 比对弯曲波在变截面处能量分配的影响.分析表明:透射传播波基本不受正 Poisson 比的影响,在负 Poisson 比阶段有明显下降趋势;反射传播波的振幅和能量均在负 Poisson 比阶段有显著上升;衰减波所分配到的能量不应被忽视,在低频时,可用来衡量 Euler-Bernoulli 模型的正确性.

## 参考文献 (References):

- [1] Svensson L J, Andersson P B U, Scheuren J, Kropp W. Active scattering control of flexural waves at beam junctions: the influence of beam properties on power flow and control effort [J]. *Journal of Sound and Vibration*, 2008, **313**(3/5): 418-432.
- [2] Svensson J L, Andersson P B U, Kropp W. On the design of structural junctions for the purpose of hybrid passive-active vibration control[J]. *Journal of Sound and Vibration*, 2010, **329**(9): 1274-1288.
- [3] HOU Xiu-hui, DENG Zi-chen, ZHOU Jia-xi, LIU Tie-quan. Symplectic analysis for elastic wave propagation in two-dimensional cellular structures[J]. *Acta Mechanica Sinica*, 2010, **26**(5): 711-720.
- [4] Wang C H, Rose L R F. Wave reflection and transmission in beams containing delamination and inhomogeneity[J]. *Journal of Sound and Vibration*, 2003, **264**(4): 851-872.
- [5] Morales A, Flores J, Gutierrez L, Mendez-Sanchez R A. Compressional and torsional wave amplitudes in rods with periodic structures[J]. *The Journal of the Acoustical Society of America*, 2002, **112**(5): 1961-1967.
- [6] Richards D, Pines D J. Passive reduction of gear mesh vibration using a periodic drive shaft [J]. *Journal of Sound and Vibration*, 2002, **264**(2): 317-342.
- [7] Mace B R. Wave reflection and transmission in beams[J]. *Journal of Sound and Vibration*, 1984, **97**(2): 237-246.
- [8] Mei C, Mace B R. Wave reflection and transmission in Timoshenko beams and wave analysis



- of Timoshenko beam structures[J]. *Journal of Vibration and Acoustics*, 2005, **137**(4): 382-394.
- [9] Leamy M J. Exact wave-based Bloch analysis procedure for investigating wave propagation in two-dimensional periodic lattices[J]. *Journal of Sound and Vibration*, 2012, **331**(7): 1580-1596.
- [10] Lakes R. Foam structures with a negative Poisson's ratio[J]. *Science*, 1987, **235**(4792): 1038-1040.
- [11] Yeganeh-Haeri A, Weidner D J, Parise J B. Elasticity of  $\alpha$ -cristobalite: a silicon dioxide with a negative Poisson's ratio[J]. *Science*, 1992, **257**(5070): 650-652.
- [12] Grima J N, Jackson R, Alderson A, Evans K E. Do zeolites have negative Poisson's ratios? [J]. *Advanced Materials*, 2000, **12**(24): 1912-1918.
- [13] Ruzzene M, Scarpa F, Soranna F. Wave beaming effects in two-dimensional cellular structures[J]. *Smart Materials and Structures*, 2003, **12**(3): 363-372.
- [14] Gonella S, Ruzzene M. Analysis of in-plane wave propagation in hexagonal and re-entrant lattices[J]. *Journal of Sound and Vibration*, 2008, **312**(1/2): 125-139.
- [15] Greaves G N, Greer A L, Lakes R S, Rouxel T. Poisson's ratio and modern materials[J]. *Nature Materials*, 2011, **10**(11): 823-837.
- [16] Stephen N G. On a check on the accuracy of Timoshenko's beam theory[J]. *Journal of Sound and Vibration*, 2002, **257**(4): 809-812.

## Effect of Poisson's Ratio on Flexural Wave Propagation in Step-Beam

ZHU Zhi-wei<sup>1</sup>, DENG Zi-chen<sup>1,2</sup>

(1. Department of Engineering Mechanics, Northwestern Polytechnical University, Xi'an 710072, P. R. China;

2. State Key Laboratory of Structural Analysis for Industrial Equipment, Dalian University of Technology, Dalian 116024, P. R. China)

**Abstract:** The purpose of this study was to investigate the effect of Poisson's ratio on the flexural wave propagation in step-beam. The transmission and reflection matrices, based on Timoshenko theory, were derived for the junction of two beams. The results show that the negative Poisson's ratio has a significant influence on amplitudes and energies of transmission and reflection propagating waves. Due to the analysis of energy of decaying waves, Euler-Bernoulli theory sometimes is not valid even in low frequencies.

**Key words:** step-beam; Timoshenko theory; flexural wave; negative Poisson's ratio